

МОДЕЛИРОВАНИЕ СВЧ-ИЗМЕРИТЕЛЯ ПАРАМЕТРОВ ВЕЩЕСТВ РЕЗОНАТОРНОГО ТИПА С МАЛОЙ АПЕРТУРОЙ

СВЧ-измерители, использующие резонаторный метод и внешнее расположение измеряемого объекта, позволяют весьма эффективно решать задачи неразрушающего контроля материалов и сложных структур. Однако, строгое решение электродинамической задачи, связывающей электромагнитные параметры исследуемого объекта и выходные характеристики измерительного преобразователя даже в случае простой геометрии датчика, может оказаться весьма сложным и трудоемким.

В данной работе рассматриваются возможные подходы к построению строгой модели датчика в виде открытого конца коаксиала в бесконечном экране и четвертьволнового коаксиального резонатора (рис. 1). Пространство между z_4 и z_5 заполнено исследуемым материалом. Первоначально анализ такого устройства производился в электростатическом приближении [1], но практика показала необходимость учета волновых свойств полей. Выходными параметрами при исследовании объектов служат результирующая резонансная частота и добротность. Датчик возбуждается на ТЕМ моде.

Для описания такого датчика можно воспользоваться функциями Грина для уравнений Максвелла в цилиндрической системе координат [2], а для нулевых собственных значений добавить собственные функции учитывающие ТЕМ-волну в коаксиале согласно [3]. Строгий подход с заданием амплитуды возбуждающего поля в некоторой точке резонатора чрезвычайно громоздок и вряд ли оправдан. Задание поля в произвольном сечении с последующим расчетом

всех параметров датчика приводит к интегральным уравнениям первого рода, решение которых представляет значительные трудности. Но данную задачу можно упростить. Конструкция датчика содержит коаксиальный отрезок z_2, z_3 , в котором гасятся высшие типы волн. Этим можно

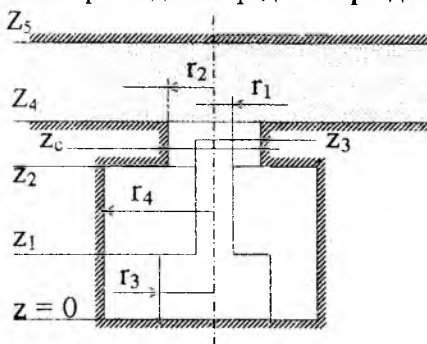


Рис. 1

воспользоваться при определении основных параметров датчика.

Задавая электрическое поле в сечении z_c внутри коаксиала можно вычислить распределение магнитного поля в том же сечении. Для этого разделим датчик по оси z на простые области, причем границы раздела пройдут через точки, в которых изменяется сечение. Для тангенциальной составляющей магнитного поля над и под m -й границей раздела на основании [2] и [3] можно записать следующие соотношения:

$$H_{\varphi}(r, z_{m+0}) = -j\omega \bar{\epsilon}_{am} \sum_{n=0}^{\infty} \int_r \frac{\partial}{\partial r} \chi_n^m(r) \frac{\partial}{\partial r'} \chi_n^m(r') \frac{r'}{k_n^2 \lambda_n \gamma_n} \times \\ \times [E_r(r', z_m) \operatorname{cth}(\gamma_n \Delta z_m) - E_r(r', z_{m+1}) \operatorname{sch}(\gamma_n \Delta z_m)] dr' ; \quad (1)$$

$$H_{\varphi}(r, z_{m-0}) = -j\omega \bar{\epsilon}_{am-1} \sum_{n=0}^{\infty} \int_r \frac{\partial}{\partial r} \chi_n^{m-1}(r) \frac{\partial}{\partial r'} \chi_n^{m-1}(r') \frac{r'}{k_n^2 \lambda_n \gamma_n} \times \\ \times [E_r(r', z_{m-1}) \operatorname{sch}(\gamma_n \Delta z_{m-1}) - E_r(r', z_m) \operatorname{cth}(\gamma_n \Delta z_{m-1})] dr' , \quad (2)$$

где $\chi_n(r) = N_0(k_{n1} r_m) J_0(k_{n1} r) - J_0(k_{n1} r_m) N_0(k_{n1} r)$, здесь $n \neq 0$; k_n — собственные значения для коаксиальной области; γ_n — постоянные распространения для каждой из гармоник; λ_n — нормы собственных функций.

Для $n = 0$ собственная функция равна $1/r$ с нормой $\sqrt{[\ln(r_2)/\ln(r_1)]}$.

Так как при $z = 0$ и $z = z_5$ $E_r = 0$, то распределение магнитного поля в любом сечении резонатора, где задано электрическое, можно определить последовательно пересчитывая E_r на границах раздела. Окончательно для волны пришедшей со стороны исследуемого вещества имеем

$$H_{\varphi}^s(r, z_c) = -j\omega \int_{r_1}^{r_2} E_r(r', z_c) r' \left[S_2 - \frac{S_1^2}{S_2 + S_4 - S_3^2 / (S_4 + S_5)} \right] dr' , \quad (3)$$

$$\text{где } S_{1,3} = \sum_{n=0}^{\infty} \frac{\partial}{\partial r} \chi_n(r) \frac{\partial}{\partial r'} \chi_n(r') \frac{\operatorname{cth}[\gamma_n(z_{4,3} - z_{c,3})]}{k_n^2 \lambda_n \gamma_n} ;$$

$$S_{2,4} = \sum_{n=0}^{\infty} \frac{\partial}{\partial r} \chi_n(r) \frac{\partial}{\partial r'} \chi_n(r') \frac{\operatorname{sch}[\gamma_n(z_{4,3} - z_{c,3})]}{k_n^2 \lambda_n \gamma_n} ; \quad \chi_n \text{ — здесь собственные}$$

функции для коаксиальной области согласно (2) и для волноводной, со-

$$\text{гласно [2]: } S_3 = \int_0^{\infty} J_1(\omega r) J_1(\omega r') \frac{\omega \bar{\epsilon}_0}{\gamma_0} \operatorname{cth}[\gamma_0(z_5 - z_4)] d\omega .$$

В неограниченной области спектр собственных значений непрерывный, поэтому в последнем случае сумма заменяется интегралом.

Для волны пришедшей со стороны резонатора получим

$$H_{\varphi}^r(r,0) = -j\omega \int_{r_1}^{r_2} E_r(r',z_c) r' \left[S_2 - \frac{S_1^2}{S_2 + S_6 - S_7^2/(S_6 + S_8)} \right] dr' \quad (4)$$

Здесь суммы S_6 , S_7 и S_8 для элементарных областей резонатора вычисляются аналогично суммам S_2 и S_1 .

Задавая $E_r(r, z_c)$ в виде $1/r$, и, приравнявая амплитуды ТЕМ-гармоник $H_{\varphi}^s(r, z_c)$ и $H_{\varphi}^r(r, z_c)$, можно получить значение резонансной частоты. Численное моделирование проводилось для резонатора имеющего следующие размеры (в мм): $r_1 = 0,45$, $r_2 = 0,75$, $r_3 = 3,85$, $r_4 = 27,5$, $z_1 = 30$, $z_2 = 35$, $z_4 - z_2 = 3$, $z_4 - z_3 = 0,05$, что соответствует реальному устройству. Толщина образца 100 мм. Расчеты проводились для трех положений z_c : на срезе центрального стержня — $z_{c1} = z_3$, посередине коаксиала — $z_{c2} - z_2 = 1,5$ мм, и на входе в резонатор — $z_{c2} - z_2 = 0,05$ мм. Отклонение рассчитанного распределения магнитного поля от $1/r$ определялось как отношение разности $H_{\varphi}^s(r, z_c) - H_{\varphi}^r(r, z_c)$ к напряженности поля ТЕМ-гармоники в каждом из вычисленных распределений H_{φ} . На рис. 2 и 3 для каждого из трех положений z_c представлены графики изменения этих отношений. В случае изображенном на рис. 2 образцом является воздух, на рис. 3 — металл. Графики на рисунках пронумерованы в соответствии с нумерацией плоскостей z_c .

Как видно из представленных графиков формы рассчитанных значений распределения H_{φ} значительно отличаются от $1/r$. Особенно сильно это отличие проявляется вблизи среза центрального проводника коаксиала. При открытом коаксиале ток наружного проводника растекается по всей плоскости экрана и это приводит к тому, что относительное изменение больше, чем амплитуда основной гармоники. При подсоединении металла напряженность поля увеличивается у центрального проводника, так как линии тока замыкаются через емкость образовавшуюся между срезом центрального проводника и образцом. Однако столь значительный разброс рассчитанных распределений магнитного поля не приводит к существенным отклонениям при расчете резонансных частот. Для воздуха рассчи-

танные значения резонансных частот в ГГц для каждого положения z_c равны соответственно: $f_{c1} = 1,35251$, $f_{c2} = 1,35248$, $f_{c3} = 1,35246$, для металла — $f_{c1} = 1,26085$, $f_{c2} = 1,26081$, $f_{c3} = 1,26021$. Различие расчетных значений возникает в 4–5 знаке, что вполне достаточно для практического использования.

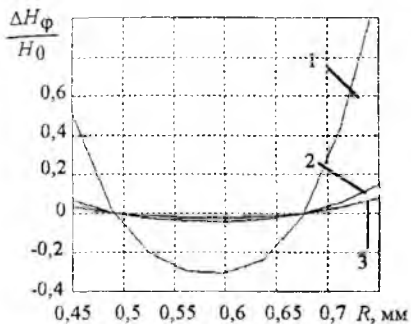


Рис. 2

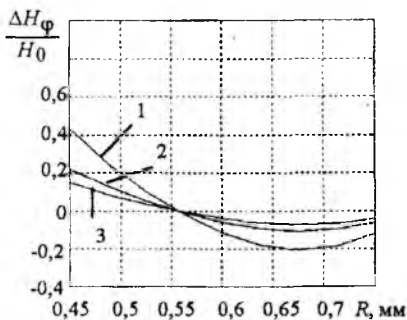


Рис. 3

Столь незначительное различие объясняется тем, что волны прошедшие через коаксиал малых размеров волны в прямом или обратном направлении имеют достаточно чистый пространственный спектр. Поэтому возбуждение области с существенным изменением геометрии производится практически чистой ТЕМ-волной. Отклик области в виде искаженного распределения H_ϕ так же очищается и отраженная волна на другом конце коаксиала тоже имеет только основную гармонику. Наличие в конструкции СВЧ-устройства элемента очищающего пространственный спектр позволяет получить достаточно точные расчетные значения при использовании сравнительно простого метода заданного поля.

Список литературы: 1. СВЧ-резонаторный метод измерения удельного сопротивления и толщины эпитаксиальных пленок / Г.Н. Данилов, М.В. Детинко, Ю.В. Медведев, А.Д. Свиригина // Электрон. техника. Сер. Электрон. СВЧ. 1982. Вып. 6(342). С. 16–19. 2. Панченко Б.В. Тензорные функции Грина уравнений Максвелла для цилиндрических областей. // Радиотехника. 1970. Вып. 15. С. 82–91. 3. Chen-To Tai. Dyadic Green's functions for a coaxial line // IEEE Trans. of Antennas and Propagation. 1983. Vol. Ap-31, N 2. P. 355–358.

Харьковский государственный технический университет радиозлектроники

Поступила в редколлегию 01.12.98